

Polymerization
Quarterly, 2014
Volume 4, Number 2
Pages 4-20
ISSN: 2252-0449

Studies on Morphology, Physical and Mechanical Properties of EVA/Clay Nanocomposites

Maryam Mohebbi, Mohammad Razavi-Nouri*, Alireza Sabet

Iran Polymer and Petrochemical Institute (IPPI), P.O. Box: 14975-112, Tehran, Iran

Received: 30 November 2013, Accepted: 28 April 2014

Abstract

In the last two decades, some studies have been conducted on the preparation and properties of nanocomposites based on ethylene vinyl acetate copolymer (EVA) and nanoclay particles. The results indicate that the addition of small amounts of nanoclay into EVA system improve the thermal resistance, fire retardancy, tear strength, tensile modulus and hardness of the nanocomposites. When the percentage of nanoclay increases, zero shear viscosity of the nanocomposite increases, the Newtonian region becomes shorter and the material reveals shear thinning behavior at lower shear rates in comparison with that of the parent polymer. The factors such as the type and amount of nanoclay as well as the percentage of vinyl acetate in EVA play significant role in morphology and physical and mechanical properties of their corresponding nanocomposites. The aim of this study is to present some information on the above nanocomposites by reviewing the most recent published papers on their various aspects of preparation and general properties in relation to their most important applications.

Key Words

**nanocomposite,
ethylene vinyl acetate,
nanoclay,
morphology,
rheology**

(*) To whom correspondence should be addressed.
E-mail: m.razavi@ippi.ac.ir

بررسی شکل‌شناسی و خواص فیزیکی و مکانیکی نانوکامپوزیت‌های اتیلن وینیل استات – نانوخاک رس

مریم محبی، محمد رضوی نوری*

تهران، پژوهشگاه پلیمر و پتروشیمی ایران، صندوق پستی ۱۴۹۷۵-۱۱۲

دریافت: ۱۳۹۲/۹/۹، پذیرش: ۱۳۹۳/۲/۸

بسپارش
فصلنامه علمی- ترویجی
سال چهارم، شماره ۲
صفحه ۱۳۹۳، ۴-۲۰
ISSN: 2252-0449

چکیده

در دو دهه اخیر، مطالعات متعددی در باره ساخت و بررسی خواص مختلف نانوکامپوزیت‌های تهیه شده از کوپلیمر اتیلن وینیل استات (EVA) و نانوذرات خاک رس در جهان علمی انجام شده است. نتایج به دست آمده حاکی از آن است که افزودن مقدار بسیار کمی از نانوخاک رس به EVA، موجب افزایش پایداری گرمایی، بازدارندگی شعله، استحکام پارگی، مدول کششی و سختی نانوکامپوزیت می‌شود. همچنین، با افزایش درصد نانوخاک رس، گرانزوی برشی نانوکامپوزیت‌های مزبور در سرعت برش صفر افزایش یافته، ناحیه نیوتونی مربوط به این نانوکامپوزیت‌ها کوتاهتر شده و در مقایسه با EVA خالص، در سرعت برش کمتری رفتار رقیق‌شوندگی برشی بروز می‌دهند. هر یک از عوامل، چون نوع نانوخاک رس مصرفی و مقدار آن و نیز درصد وینیل استات در EVA، در شکل‌شناسی و خواص فیزیکی و مکانیکی این نانوکامپوزیت‌ها نقش قابل توجهی را بازی می‌کنند. در این مقاله سعی شده است تا اطلاعات نسبتاً جامعی درباره خواص نانوکامپوزیت‌های عنوان شده با مروری بر مقالات به چاپ رسیده در این زمینه، ارائه شود.



مریم محبی



محمد رضوی نوری



علیرضا ثابت

وازگان کلیدی

نانوکامپوزیت،
اتیلن وینیل استات،
نانوخاک رس،
شکل‌شناسی،
رنولوژی

* مسئول مکاتبات، پیام‌نگار:
m.razavi@jppi.ac.ir

مقدمه

نانوکامپوزیت‌های پلیمری، کامپوزیت‌های جدیدی هستند که در آنها پرکننده‌های با حداقل یک بعد در محدوده نانومتر، درون یک ماتریس پلیمری پراکنده شده‌اند [۱]. پلیمرهای گرمائرنمی که با نانوذرات پر شده باشند، خواص متفاوتی نسبت به پلیمرهای گرمائرنم پر شده با میکروذرات مرسوم، نشان می‌دهند [۲]. افزودن نانوذرات، موجب ایجاد خواص مطلوبی در درصدهای کم از پرکننده می‌شود. نانوخاک رس از مقرون به صرفه‌ترین نانوذرات بوده که نتایج خوبی در ماتریس‌های پلیمری نشان داده است. مونت‌موریلوئیت صفحه‌مانند، معمول‌ترین نانوخاک رس استفاده شده در این‌باره است. ساختار مونت‌موریلوئیت مشکل از چند لایه با ضخامت حدود ۱ nm است و پهنهای آن در محدوده ۳۰ nm تا چند میکرون است. از قرار گرفتن این لایه‌ها روی هم، فواصل منظم و اندروالسی ایجاد می‌شود که به آنها فضای بین‌لایه‌ای گفته می‌شود. گروه‌های قرار گرفته بر سطح لایه‌ها دارای بار منفی هستند. بین‌لایه‌ها عموماً کاتیون‌های سدیم و کلسیم قرار دارند.

فاصله بین صفحات سیلیکاتی با بیشتر شدن ظرفیت تبادل کاتیونی بیشتر می‌شود. به منظور افزایش سازگاری نانوذرات معدنی خاک رس با پلیمرهای آلی، عملیات اصلاح ساختاری روی نانوذرات خاک رس انجام می‌گیرد. درحقیقت، کاتیون‌های آلی انرژی سطحی صفحات سیلیکاتی را کاهش داده و در نتیجه باعث خیس‌شدگی بهتر آن با ماتریس پلیمری می‌شوند. افزون بر سازگارکننده‌ها، عوامل فعال سطحی که انتهای با بار مثبت دارند، به سطوح نانوذرات خاک رس دارای بار منفی، متصل شده و موجب افزایش فاصله بین صفحات سیلیکاتی می‌شوند. بنابراین، برای زنجیرهای پلیمری این امکان فراهم می‌شود تا با نفوذ در بین صفحات، آنها را از همدیگر باز کنند [۳،۴]. نوع سیلیکات و نوع اصلاح کننده به کار رفته نقش مهمی در پراکنش نانوذرات خاک رس در ماتریس پلیمری دارد [۵]. برای سود بردن از نسبت ابعادی زیاد صفحات نانوخاک رس، رقابت بر سر آن است که صفحات منفرد درون ماتریس پلیمری به شکل ورقه‌ای پراکنده شوند که این امر نیازمند وجود برهم‌کنش‌های مطلوب بین پلیمر و نانوخاک رس است [۶].

در حال حاضر، نانوکامپوزیت‌های پلیمری به چهار روش عمدۀ تهیه می‌شوند. این چهار روش عبارتند از:

- روش محلولی،
- پلیمر شدن درجا،
- لایه‌ای شدن مذاب و

- روش سل-ژل [۳].

افزودن نانوخاک رس به پلیمر مذاب در یک اکسترودر، مناسب‌ترین روش برای تهیه صنعتی نانوکامپوزیت‌های نانوخاک رس بر پایه ماتریس پلیمری است [۵]. افزودن نانوذرات خاک رس به ماتریس‌های پلیمری، خواص مکانیکی، فیزیکی (گرمایی و سدگری) و شیمیایی آنها را بهبود می‌بخشد و در برخی از موارد قیمت را کاهش می‌دهد. معمولاً نانوخاک‌های رس جایگزین پرکننده‌های شیشه یا تالک به نسبت ۱ به ۳ می‌شوند. به طور مثال، افزودن ۵ درصد وزنی نانوخاک رس می‌تواند جایگزین ۱۵ تا ۵۰ درصد کربنات کلسیم شده و به همان اندازه هزینه را کاهش و خواص مکانیکی را بهبود بخشد [۷].

کوپلیمر اتیلن وینیل استات (EVA)، کوپلیمری اتفاقی از اتیلن و وینیل استات با درصدهای وزنی مختلف کومونومر وینیل استات (VA) است که به طور تجاری با پلیمر شدن رادیکال آزاد در فشار زیاد تولید می‌شود [۸]. کوپلیمر EVA به دلیل دارا بودن ویژگی‌هایی مانند استحکام ضربه‌ای زیاد، فرایندپذیری خوب، انعطاف‌پذیری در دمای کم، مقاومت شیمیایی زیاد، قابلیت ایجاد پیوند عرضی، بی‌بویی و ارزانی مورد توجه است. با تغییر درصد وینیل استات در EVA خواص این ماده دست‌خوش تغییر می‌شود. هرچه درصد وینیل استات در EVA افزایش یابد، نظم ساختاری کاهش یافته و درنتیجه از مقدار تبلور این ماده کاسته می‌شود. به دلیل پیوند گروه‌های وینیل استات به زنجیرهای اتیلنی، بلورینگی EVA کمتر از پلی‌اتیلن سنگین خواهد بود. هنگامی که مقدار وینیل استات به بیشتر از ۵۰ درصد وزنی افزایش یابد، این کوپلیمر کاملاً بی‌شکل می‌شود. از کاربردهای مهم کوپلیمر EVA، استفاده از آن در ساخت چسب است. در بسیاری از موارد در قالب‌گیری تزریقی، این ماده به جای پلی(وینیل کلرید) نرم یا لاستیک پخت شده به کار می‌رود. از EVA پخت شده سلولی، در ساخت کفش استفاده می‌شود. کوپلیمر EVA در صنعت فیلم جایگاه مهمی را به خود اختصاص داده است. این کوپلیمر به دلیل ماهیت لاستیکی، برآفیت، نفوذپذیری و استحکام ضربه‌ای در تولید فیلم‌های کششی (به طور مثال برای بسته‌بندی گوشت) استفاده می‌شود [۹].

در نانوکامپوزیت‌های تهیه شده از کوپلیمر EVA و نانوخاک رس (EVA/Clay)، تشکیل شکل‌شناصی میان‌لایه‌ای شده یا ورقه‌ای شده به نوع سیلیکات، درصد وینیل استات در کوپلیمر EVA و شرایط فرایند بستگی دارد [۴]. از آنجا که درصد وینیل استات قطبیت ماتریس را مشخص می‌کند، مقدار برهم‌کنش بین پلیمر و نانوخاک رس و شکل‌شناصی نانوکامپوزیت‌های EVA نیز باید با تغییر درصد

اندازه‌گیری شده است. با بررسی موقعیت، شکل و شدت بازتاب‌های حاصل از لایه‌های سیلیکاتی توزیع شده، ساختار نانوکامپوزیت‌ها تا حدی قابل تشخیص است. اگرچه XRD روشی مرسوم برای ارزیابی فاصله بین لایه‌های سیلیکاتی است، ولی این روش اطلاعات کمی درباره توزیع فضایی لایه‌های سیلیکاتی یا وجود هرگونه غیریکنواختی در ساختار موجود در نانوکامپوزیت‌ها ارائه می‌کند. افزون بر این در بعضی از موارد، پهن شدن پیک و کاهش شدت آن را به سختی می‌توان مطالعه کرد. بنابراین، نتایج مربوط به سازوکار تشکیل و ساختار نانوکامپوزیت‌ها درحالی که فقط بر مبنای الگوهای XRD باشد، از اطمینان کاملی برخوردار نیست. از سوی دیگر، آزمون TEM درکی کیفی از ساختار داخلی ماده ارائه می‌کند و می‌تواند اطلاعاتی درباره فواصل واقعی، شکل‌شناسی و نواقص ساختاری در اختیار پژوهشگر قرار دهد [۳].

بسته به مقدار جای‌گیری زنجیرهای پلیمری در فواصل بین لایه‌ای نانوذرات خاک رس، این کامپوزیت‌ها می‌توانند دارای سه نوع شکل‌شناسی باشند:

- میکروکامپوزیت امتزاج ناپذیر،
- نانوکامپوزیت میان‌لایه‌ای شده و
- نانوکامپوزیت ورقه‌ای شده.

شکل ۱ تصاویری از حالات مختلف پراکنش نانوخاک رس درون ماتریس پلیمری به همراه نتایج آزمون پرتو ایکس زاویه

وینیل استات تغییر کند [۱۰]. در این مقاله، سعی شده تا اطلاعاتی درباره اثر عوامل یادشده روی شکل‌شناسی و خواص مکانیکی، رئولوژیکی و گرمایی نانوکامپوزیت‌های EVA/Clay ارائه شود.

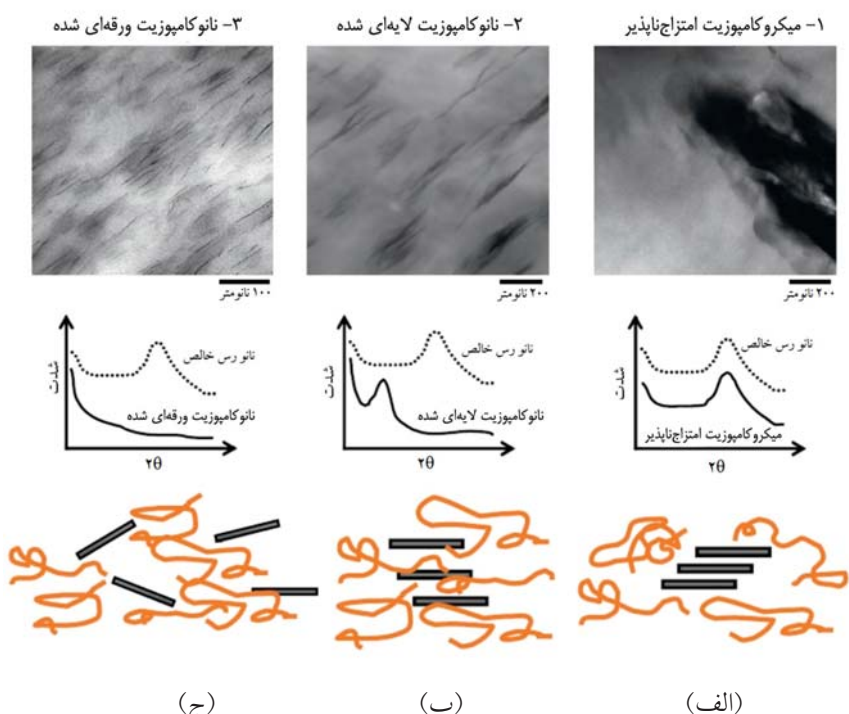
بحث

شکل‌شناسی

عموماً دو روش پرتو ایکس (XRD) و میکروسکوپ الکترونی عبوری (TEM) برای شناسایی ساختار نانوکامپوزیت‌ها استفاده می‌شود [۳]. به علت سهولت استفاده و در دسترس بودن، XRD بیشترین استفاده را در بررسی ساختار نانوکامپوزیت‌ها به خود اختصاص داده و در برخی از موارد برای مطالعه سینتیک لایه‌ای شدن مذاب پلیمرها نیز به کار می‌رود. این روش اجازه می‌دهد تا فواصل بین لایه‌های سیلیکاتی با بهره‌گیری از قانون Bragg [۱۱] معین شود:

$$\sin\theta = n\lambda / 2d \quad (1)$$

در این معادله، λ طول موج تابش پرتو ایکس حاصل از فلز هدف استفاده شده، d فاصله بین صفحات سیلیکاتی و θ زاویه پرash



شکل ۱- نمایی از حالات مختلف پراکنش نانوخاک رس در ماتریس پلیمری و نتایج WAXS و TEM آنها [۱۲].

Gupta و همکاران [۱] گزارش داده‌اند، فاصله بین لایه‌ای بتونیت طبیعی که نوعی نانو خاک رس است، در حالت اصلاح شده از $1/۲۲\text{ nm}$ به $2/1\text{ nm}$ افزایش می‌یابد. این امر نشان دهنده آن است که طی فرایند تبادل کاتیون، زنجیرهای بلند آلکیل آمونیوم بین لایه‌های سیلیکاتی جای گرفته‌اند. طبق یافته‌های Marini و همکاران [۱۴]، استفاده از نانو خاک رس اصلاح شده با مواد قطبی فعال کننده سطح با نام تجاری کلویزیت ۳۰B در ماتریس EVA منجر به تشکیل ساختار ورقه‌ای شده در این نانو کامپوزیت می‌شود.

اثر مقدار وینیل استات بر کوپلیمر EVA

اثر درصد وینیل استات موجود در کوپلیمر EVA روی ساختار نانو کامپوزیت‌های EVA/Clay نیز مطالعه شده است [۶، ۱۰، ۱۵-۱۸]. Chaudhary و همکاران [۱۰]، انواع نانو کامپوزیت‌های EVA/Clay دارای درصدهای مختلفی از وینیل استات [۹ و ۲۸ درصد] و نانو خاک رس ($2/5$ ، $5/5$ و $7/5$ درصد وزنی) را به روش آمیزه‌سازی مذاب تهیه کردند. آنها گزارش کردند، با افزایش درصد وینیل استات، بهبود قابل توجهی در مقدار ورقه‌ای شدن حاصل می‌شود. این مسئله به دلیل افزایش ماهیت قطبی ماتریس پلیمری است که موجب می‌شود تا برهم‌کنش بین نانو خاک رس و ماتریس پلیمری بیشتر شود و زنجیرهای بیشتری در فواصل بین لایه‌ای نانو خاک رس جای گیرند. طبق گزارش Prasad و همکاران [۱۵]، در نانو کامپوزیت‌های EVA/Clay، افرون بر آن که زنجیر اتیلنی به وسیله اصلاح کننده سطح با لایه‌های نانو خاک رس تماس پیدا می‌کند، گروه وینیل استات موجود نیز می‌تواند با چسبیدن به نواحی اصلاح نشده نانو ذرات خاک رس (که ذاتاً آبدوست است)، به برهم‌کنش میان EVA و نانو ذرات خاک رس کمک کند. بنابراین، به برهم‌کنش میان EVA دارای 40 درصد وینیل استات به دلیل قطبیت بیشتر قابلیت آن را دارد تا برهم‌کنش بیشتری با لایه‌های سیلیکاتی در مقایسه با EVA دارای ۱۸ و ۲۸ درصد وینیل استات ایجاد کند. Lee و همکاران [۱۹]، نانو کامپوزیت‌های برپایه EVA دارای 40 درصد وینیل استات و مقابله مختلفی از نانو خاک رس کلویزیت ۳۰B را بررسی کردند. آنها طی انجام آزمون‌های پراش پرتو ایکس زاویه کوچک (SAXS) و TEM دریافتند، تمام نانو کامپوزیت‌های تهیه شده از شکل‌شناسی ورقه‌ای شده برخوردار بودند. آنها دلیل این مسئله را قطبیت زیاد ماتریس EVA دانستند که موجب شده تا صفحات نانو خاک رس از یکدیگر جدا و در ماتریس پراکنده شوند. این یافته با گزارش Prasad و همکاران [۱۵] مطابقت دارد.

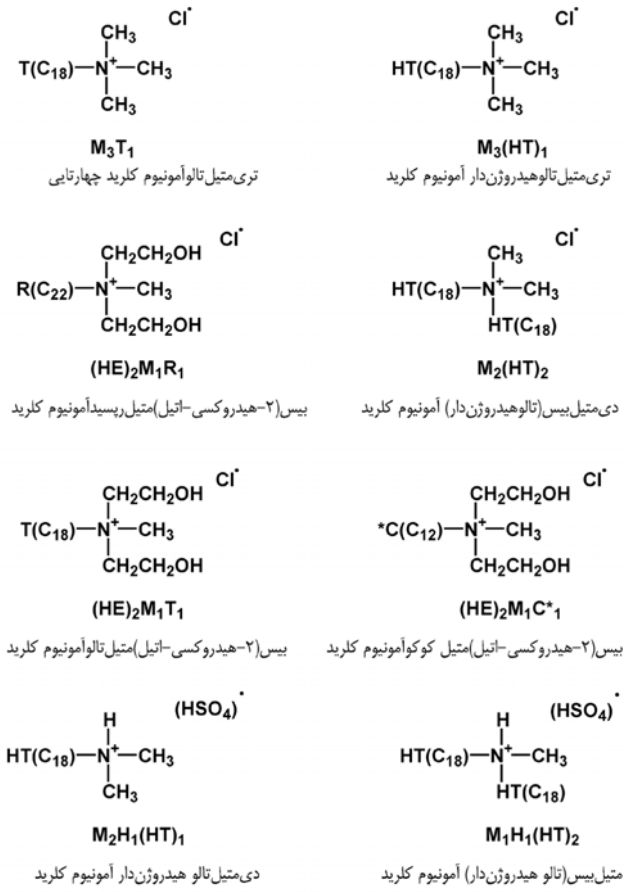
Pasanovic-Zujo و همکاران [۱۶]، روی نانو کامپوزیت‌های

باز (WAXS) و TEM را نشان می‌دهد. در میکرو کامپوزیت‌ها، نانو ذرات خاک رس به شکل تاکتoid یا تجمعاتی از تاکتoidهاست. در این حالت هیچ گونه جدایشی در صفحات سیلیکاتی رخ نمی‌دهد. بنابراین، الگوی WAXS این کامپوزیت‌ها، همانند الگویی است که برای پودر نانو خاک رس خالص به دست می‌آید [۱۲]. این موضوع ناشی از برهم‌کنش ضعیف بین نانو ذرات خاک رس و ماتریس پلیمری است و زنجیرها نمی‌توانند به درون لایه‌های نانو خاک رس نفوذ کنند [۳].

ساختار میان لایه‌ای شده وقتی ایجاد می‌شود که یک یا چند زنجیر پلیمری درون فضای بین صفحات نانو خاک رس قرار گیرند. ساختار ورقه‌ای شده نیز وقتی به وجود می‌آید که در آن لایه‌های سیلیکاتی کاملاً در ماتریس پلیمری پراکنده شوند [۱]. بنابراین، در ساختار میان لایه‌ای شده، فاصله لایه‌های سیلیکاتی نسبت به نانو خاک رس خالص بیشتر می‌شود. از این رو، پیک مربوط به نانو خاک رس به زوایای 2θ کوچک‌تر منتقل می‌شود. برای ساختار ورقه‌ای شده این پیک دیده نمی‌شود که حاکی از زیاد شدن فاصله بین لایه‌های سیلیکاتی و عدم وجود نظم در قرارگیری آنها نسبت به یکدیگر است [۱۲]. ساختارهای میان لایه‌ای شده و ورقه‌ای شده تنها هنگامی ایجاد می‌شوند که تنش گرمامکانیکی به خوبی از مذاب به ذرات لایه‌ای انتقال یابد. پس از آن، چسبندگی خوب بین ماتریس و ذرات، از شرط‌های لازم برای تشکیل ساختارهای میان لایه‌ای شده و ورقه‌ای شده به حساب می‌آید. اگر پلیمر و پرکننده سازگار نباشند، استفاده از ماده‌ای که چسبندگی بین آنها را ارتقا بخشد، ضروری است [۲].

اثر مقدار نانو خاک رس

اثر مقدار نانو خاک رس بر ساختار نانو کامپوزیت‌های EVA/Clay توسط Muralidharan و همکاران [۱۳]، بررسی شده است. این پژوهشگران گزارش داده‌اند، در نانو کامپوزیت‌های EVA/Clay با افزایش درصد نانو خاک رس، اندازه انتقال پیک پراش حاصل از آزمون XRD به زوایای 2θ کوچک‌تر کاهش می‌یابد. در واقع، مقدار بزرگ شدن فاصله بین لایه‌های نانو خاک رس کاهش می‌یابد. این مسئله بیانگر آن است که هرچه مقدار نانو خاک رس کمتر باشد، جای گیری زنجیرهای EVA درون فواصل بین لایه‌های سیلیکاتی و ایجاد ساختار میان لایه‌ای شده، به شکل مطلوب تری انجام می‌پذیرد. ولی هنگامی که درصد نانو ذرات خاک رس افزایش پیدا می‌کند، پراکنندگی نانو ذرات کاهش یافته و این ذرات به شکل تجمعاتی بزرگ در می‌آیند.



شکل ۲- نام و ساختار مولکولی نمک‌های آمین استفاده شده در اصلاح نانو خاک رس سدیم مونت موریلونیت با فرایند تبادل یونی [۲۳].

اصلاح شده با ماده فعال سطحی دارای یک انتهای آلکیلی، ساختار ورقه‌ای شده بهتری را نسبت به نانو خاک‌های رس اصلاح شده دارای ماده فعال سطحی با دو انتهای آلکیلی ارائه می‌کنند [۲۳]. از طرف دیگر گزارش شده است، نانو کامپوزیت‌های با ماتریس‌های پلی‌اولفینی و نانو خاک‌های رس اصلاح شده با دو انتها یا بیشتر، ساختار ورقه‌ای شده بهتری را ایجاد می‌کنند [۲۴].

به طور کلی، نتیجه میان لایه‌ای شدن مذاب با اثر متقابل عوامل آنتروپیک و آنتالپیک معین می‌شود. حبس شدن زنجیرهای پلیمر در فواصل بین لایه‌های سیلیکاتی، منجر به کاهش آنتروپی کلی زنجیرهای پلیمری می‌شود. ولی این افت آنتروپی، با آزادی صورت‌بندی افزایش یافته کاتیون‌های آمونیوم از راه جدا شدن لایه‌های سیلیکاتی از یکدیگر، جبران می‌شود. اگرچه افزایش کوچک در فاصله بین لایه‌های سیلیکاتی اثری بر تغییر آنتروپی کلی نمی‌گذارد، ولی آنتالپی کلی، میان لایه‌ای شدن را هدایت می‌کند. آنتالپی اختلاط به دو جزء تقسیم می‌شود:

EVA حاوی درصدهای مختلف از وینیل استات و نانو خاک رس سدیم بتونیت اصلاح شده با ستیل دی متیل اتیل آمونیوم برومید مطالعاتی انجام دادند. اثر قرارگیری زنجیرهای پلیمری در بین لایه‌های سیلیکاتی با تغییر در شدت و شکل پیک‌های پراش حاصل از آزمون WAXS مشخص می‌شود. بتونیت اصلاح شده دارای پیکی بلند در $2\theta = 4/4^\circ$ است. این پیک در نانو کامپوزیت بر پایه EVA ۹ درصد وینیل استات حاوی ۵ درصد وزنی از این نانو خاک رس، به سمت زوایای کمتر انتقال پیدا می‌کند که حاکی از وجود شکل شناسی میان لایه‌ای شده است. عدم وجود این پیک در الگوهای حاصل از WAXS مربوط به نانو کامپوزیت‌های دارای ۱۸ و ۲۸ درصد وینیل استات، نشان از ایجاد ساختار ورقه‌ای شده در آنها دارد. این مشاهدات با یافته‌های حاصل از مطالعات Chaudhary و همکاران [۱۰] و Prasad [۱۵] انطباق دارد.

اثر نوع نانو خاک رس

اثر نوع ماده اصلاح کننده نانوذرات خاک رس روی شکل شناسی نانو کامپوزیت‌های EVA/Clay، بررسی شده است [۶، ۱۰، ۱۷، ۲۰، ۲۱]. در شکل ۲ فرمول‌های شیمیایی و ساختاری برخی از اصلاح کننده‌های نانو خاک رس آمده است. در باره نانو کامپوزیت‌های بر پایه EVA که در آنها از نانو خاک رس اصلاح شده با یک انتهای آلکیلی (مانند کلویزیت B 30B) استفاده شده است، گزارش‌های ضد و نقیضی وجود دارد. بعضی از پژوهشگران [۱۰، ۲۰] گزارش داده‌اند که برای کلویزیت 30B که با $(\text{HE})_2\text{M}_1\text{T}_1$ اصلاح شده، حالت ورقه‌ای شدن کامل به وجود می‌آید. آنها گزارش کردند، این نانو خاک رس نسبت به کلویزیت 20A (اصلاح شده با اصلاح کننده‌های آلی با دو انتها) با EVA (به ویژه با درصدهای بیشتر وینیل استات) سازگارتر است. این درحالی است که سایر پژوهشگران [۶، ۲۱] با استفاده از شبیه‌سازی مولکولی دینامیکی نشان داده‌اند، نانو خاک رس‌های اصلاح شده با دو انتها بلند آلکیلی نسبت به نانو خاک رس‌های اصلاح شده با یک انتهای آلکیلی برهم‌کنش بهتری با EVA خواهند داشت. منشا این مسئله می‌تواند به پایداری گرمایی کمتر اصلاح کننده‌های آلی با یک انتها نسبت به اصلاح کننده‌های آلی با چند انتها نسبت داده شود. زیرا، کلویزیت B 30B و سایر نانوذرات خاک رس اصلاح شده دارای یک انتها، وقتی که تحت شرایط شدید دمایی در اختلاط مذاب قرار می‌گیرند، در اثر تحریب اصلاح کننده به کار رفته در آنها، اغلب دست خوش تجمع دوباره لایه‌های سیلیکاتی می‌شوند [۶، ۲۲]. مطالعات نشان داده‌اند، نانو کامپوزیت‌های تهیه شده از پلی‌آمید ۶ و نانو خاک رس‌های

اثر شرایط آماده‌سازی

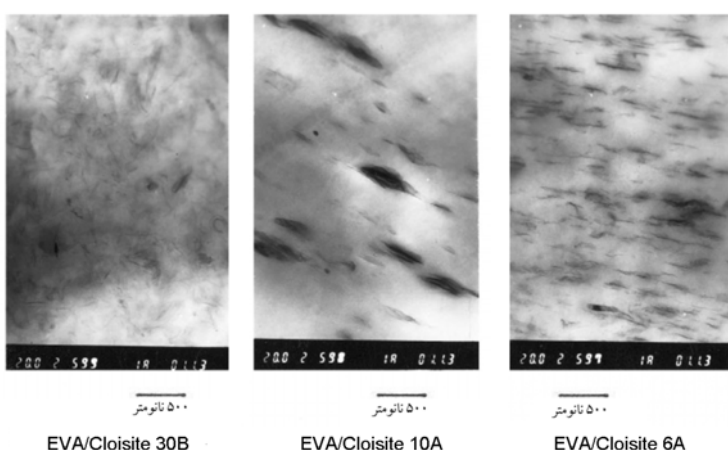
Flippi و همکاران [۲۶] در مورد اثر شرایط آماده‌سازی بر شکل‌شناختی نانوکامپوزیت‌های برپایه کوپلیمرهای اتیلن دارای نانوچاک رس، مطالعاتی انجام دادند. آنها دو روش آمیزه‌سازی مذاب و محلولی را بررسی کرده و اثر انجام عملیات گرمایی ایستا را بر آنها ارزیابی کردند. در عملیات گرمایی ایستا، ابتدا پلیمر و نانو خاک رس به طور مکانیکی مخلوط شده و سپس در پرس برای مدت 10 min در دمایی کمی بیش از دمای ذوب پلیمر قرار داده شدند. نتایج نشان داد، عملیات گرمایی انجام شده موجب جایگیری سریع زنجیرهای بسیار متخرک کوپلیمرهای اتیلن، درون فواصل میان لایه‌ای نانوذرات خاک رس اصلاح شده با عوامل فعل سطحی دارای دو انتهای می‌شود. در پژوهش مذبور، گزارش شده که اگرچه آمیزه‌سازی محلولی منجر به پراکنش نانوذرات خاک رس در توده پلیمر می‌شود، اما بدون انجام عملیات گرمایی، ساختار ورقه‌ای شده به وجود نمی‌آید. با این حال، پراکنش بسیار خوب نانوذرات خاک رس و نیز بیشترین مقدار ورقه‌ای شدن، برای نانوکامپوزیت‌هایی حاصل می‌شود که به روش آمیزه‌سازی مذاب تهیه شده باشند.

پایداری گرمایی

نتایج Pistor و همکاران [۲۷] درباره پایداری گرمایی نانوکامپوزیت‌های ساخته شده از EVA دارای ۲۸ درصد وینيل استات و کلویزیت 30B به کمک آزمون گرماآزن سنجی (TGA) در محیط نیتروژن در شکل ۴ نشان داده شده است. تخریب این نانوکامپوزیت شامل دو مرحله است:

الف- برهم‌کنش بین پلیمر و کاتیون‌های آمونیوم و

ب- برهم‌کنش بین لایه‌های سیلیکاتی قطبی و زنجیرهای پلیمری. در اغلب سیلیکات‌های اصلاح شده مرسوم، کاتیون‌های آمونیوم، غیرقطبی بوده و برهم‌کنش‌های غیرقطبی بین پلیمر و کاتیون‌های آمونیوم، برای میان‌لایه‌ای شدن مذاب پلیمر نامطلوب است [۲۵]. Li و همکاران [۲۵]، با استفاده از آزمون‌های بر پایه EVA دارای ۱۸ درصد شکل‌شناختی نانوکامپوزیت‌های ایمید EVA در شکل ۳ درصد وینيل استات و ۳ درصد وزنی کلویزیت 6A، 30B و 10A را بررسی کردند. تصاویر TEM این نانوکامپوزیت‌ها در شکل ۳ آمده است. مفاهیم نظری یاد شده می‌تواند برای توضیح این تصاویر استفاده شود. نانوکامپوزیت‌های حاوی کلویزیت 30B دارای ساختار ورقه‌ای شده هستند. دلیل این مسئله آن است که کاتیون‌های آمونیوم در کلویزیت 30B دو گروه هیدروکسی اتیل دارد و در نتیجه نیروی محرکه ورقه‌ای شدن نانوکامپوزیت تهیه شده از EVA و کلویزیت 30B از برهم‌کنش قطبی قوی بین گروه‌های کربوکسیل موجود در EVA و گروه‌های هیدروکسیل کاتیون‌های آمونیوم سرچشمه گرفته است. کاتیون‌های آمونیوم با دو گروه تالوی بزرگ، منجر به آبگریزی بیشتر کلویزیت 6A نسبت به 10A و 30B و ایجاد ساختار میان‌لایه‌ای شده یا جزئی ورقه‌ای شده می‌شود. در نانوکامپوزیت‌های ساخته شده از کلویزیت 10A هیچ برهم‌کنش قطبی قوی بین EVA و کاتیون‌های آمونیوم کلویزیت 10A وجود ندارد و قرارگیری زنجیرهای EVA درون فواصل بین‌لایه‌های سیلیکاتی کلویزیت 10A را با مشکل مواجه می‌کند. این امر موجب ایجاد شکل‌شناختی جزئی میان‌لایه‌ای شده در این نانوکامپوزیت شده است.



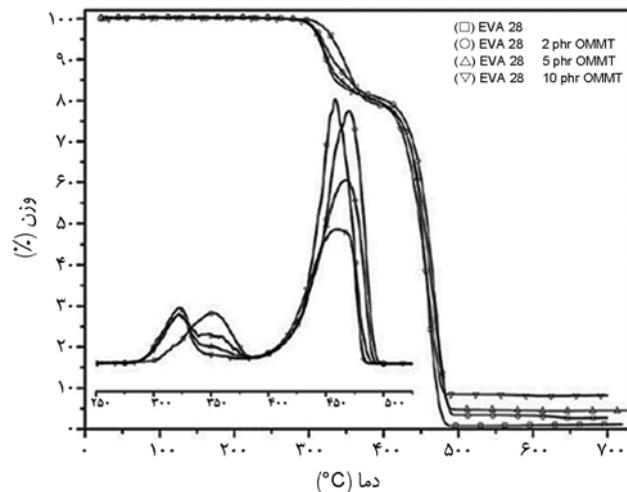
شکل ۳- تصاویر TEM نانوکامپوزیت‌های بر پایه ماتریس پلیمری EVA دارای ۱۸٪ وینيل استات و ۳٪ وزنی کلویزیت 6A، 10A و 30B [۲۵].

بیشتری را فراهم می‌آورد. درنتیجه با افزایش مقدار نانوچاک رس به ۵ و ۱۰ phr، احتمال ایجاد برهم‌کنش‌های قوی‌تر بین گروه‌های استات و گروه‌های هیدروکسیل انتهایی نانوچاک رس وجود دارد. مرحله دوم تخریب مربوط به قطعه‌های اتیلنی EVA است. نمودار تجزیه گرمابزنی تفاضلی (DTGA) نیز نشان می‌دهد، با افزایش درصد نانوچاک رس، از شدت پیک DTGA کاسته می‌شود [۲۷]. مرحله دوم تخریب با وجود نانوچاک رس در دماهای بیشتری اتفاق می‌افتد. این رفتار می‌تواند با اثر نفوذ توضیح داده شود. این اثر موجب محدود شدن خروج محصولات گازی حاصل از تخریب شده و به افزایش پایداری گرمایی ماده منجر می‌شود [۳۰].

دئولوژی برشی پایدار

تغییرات گرانزوی برشی پایدار نسبت به سرعت برش برای EVA با درصدهای مختلف از وینیل استات، به همراه نانوکامپوزیت‌های تهیه شده از آنها که حاوی ۵ درصد وزنی نانوچاک رس سدیم بتونیت اصلاح شده با ستیل دی‌متیل اتیل آمونیوم برومید بودند، مطالعه شده‌اند. مشاهده شده که گرانزوی برشی EVA دارای ۹ و ۱۸ درصد وینیل استات مشابه همیگر است. همچنین، تفاوت گرانزوی‌های نانوکامپوزیت EVA دارای ۲۸ درصد وینیل استات با نانوکامپوزیت EVA دارای ۹ و ۱۸ درصد وینیل استات، ناشی از برهم‌کنش‌های متفاوت بین پلیمر و لایه‌های نانوچاک رس به سبب قطیبت بیشتر کوپلیمر EVA با ۲۸ درصد وینیل استات است. در سامانه‌های میان‌لایه‌ای شده مانند نانوکامپوزیت بر پایه EVA دارای ۹ درصد وینیل استات، زنجیرهای پلیمر به سادگی تنها میان لایه‌های نانوچاک رس جای می‌گیرند و به جز برهم‌کنش ضعیف اسید-باز لوثیوس هیچ برهم‌کنش قوی قابل ملاحظه‌ای بین EVA و سطح لایه‌های نانوچاک رس دیده نمی‌شود. در مقابل، در نانوکامپوزیت ورقه‌ای شده بر پایه EVA دارای ۲۸ درصد وینیل استات، زنجیرهای پلیمر دارای تعداد بیشتری از گروه‌های قطبی وینیل استات هستند. این مسئله موجب برهم‌کنش‌های قوی‌تر زنجیرها با لایه‌های سیلیکاتی می‌شود، بنابراین در برابر تغییر شکل، بیشتر مقاومت می‌کنند [۱۶].

در شکل ۵ اثر مقدار نانوچاک رس بر تغییرات گرانزوی برشی با سرعت برش برای نانوکامپوزیت‌های تهیه شده از EVA دارای ۲۸ درصد وینیل استات حاوی نانوچاک رس سدیم بتونیت اصلاح شده بررسی شده است. با افزایش درصد نانوچاک رس، گرانزوی برشی نانوکامپوزیت‌های یاد شده در سرعت برش صفر افزایش می‌یابد. این مسئله حاکی از آن است که در سرعت‌های



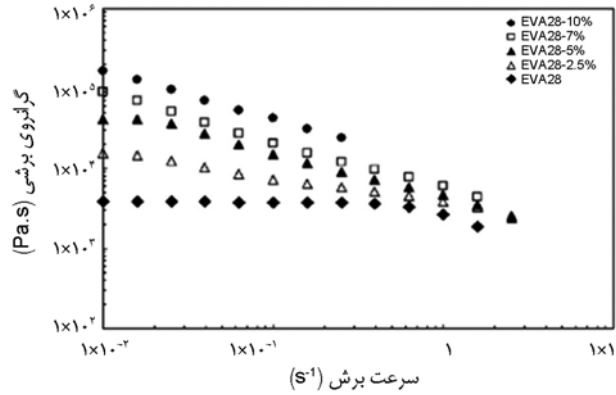
شکل ۴- منحنی‌های TGA و DTGA نانوکامپوزیت‌های EVA28 با مقادیر مختلف نانوچاک رس، با سرعت گرمادهی [۲۷] $10^{\circ}\text{C}/\text{min}$

- کاهش جرم، که در محدوده دماهای $270-370^{\circ}\text{C}$ انجام می‌گیرد و به تجزیه وینیل استات و تشکیل استیک اسید و پیوند دوگانه در زنجیر اصلی پلیمر نسبت داده می‌شود.
- کاهش جرم در بازه دماهای $380-500^{\circ}\text{C}$ که مربوط به تخریب قطعه‌های اتیلنی است.

مشاهده شده است، افزودن نانوچاک رس موجب انتقال مرحله اول تخریب به دماهای کمتر می‌شود. پژوهشگران [۱۹, ۲۸] این موضوع را ناشی از اثر سرعت بخشی مکان‌های اسیدی نانوچاک رس دانسته‌اند. چنین افزایشی در سرعت تخریب با افزایش مقدار نانوچاک رس در نانوکامپوزیت‌های پلیاستر آلیفاتیک زیست‌تخریب‌پذیر نیز مشاهده شده است [۲۹]. گزارش شده است، این یافته‌ها نشان دهنده عملکرد نانوذرات خاک رس به عنوان ماده سدگر است. اگرچه نانوذرات خاک رس می‌توانند از راه کمک به تشکیل زغال پس از تجزیه گرمایی ماتریس پلیمری، پایداری گرمایی کل سامانه را افزایش دهند، ولی اثر سدگری گرمایی، خود می‌تواند منجر به کاهش پایداری در مرحله اول شود. افزون بر این، نانوچاک رس خود به عنوان مخزن گرمایی با هدایتی بیشتر از ماتریس عمل می‌کند و گرمای محلی در مرز لایه‌های نانوذرات خاک رس باعث سرعت بخشیدن به تخریب گرمایی EVA می‌شود [۱۹, ۲۹]. همان طور که در شکل ۴ دیده می‌شود، با افزایش ۲ phr مقدار نانوچاک رس، سرعت تخریب استات حتی برای نانوچاک رس نیز زیاد می‌شود. این مسئله حاکی از وجود بعضی برهم‌کنش‌ها بین ماتریس و فاز پراکنده است. این امر ممکن است، ناشی از شکل‌شناسی غالباً ورقه‌ای شده باشد که سطح تماس

در معادله (۲)، η گرانزوی برشی ظاهری، η_0 گرانزوی برشی در سرعت برش صفر، η_1 گرانزوی برشی در سرعت برش بی‌نهایت، t_1 زمان آسایش و n توان قانونی توانی و تنها معیار ارزیابی برای مقدار رقیق‌شوندگی برشی است. η_1 می‌تواند از مدل Carreau به دست آید. گرانزوی برشی صفر، توان قانونی توانی و زمان آسایش در جدول ۱ درج شده‌اند. گرانزوی برشی نانوکامپوزیت‌های EVA40/Cloisite 30B در سرعت‌های برش زیاد، مشابه یکدیگر است [۱۹]. این مسئله می‌تواند از تغییرات صورت‌بندی زنجیر پلیمری، جهت‌گیری نانوذرات خاک رس تحت برش و در نتیجه قرارگیری لایه‌های نانوخاک رس در جهت جریان ناشی شده باشد [۱۵, ۱۹].

روش عمومی برای اندازه‌گیری کشسانی مذاب سامانه‌های پلیمری، اندازه‌گیری اختلاف تنش عمود اول (N_1) است [۱]. اگر فرض شود، سیال گرانزوکشسان تحت جریان برشی یکبعدی در جهت x قرار گیرد، با توجه به ماهیت جریان برشی، سرعت آن در جهت y و z برابر صفر و در جهت x تنها تابع y خواهد بود. در این حالت، افزون برتنش برشی (τ_{yx} ، سه تنش عمود (P_{xx} , P_{yy} و P_{zz}) نیز در سیال تحت برش ایجاد می‌شوند [۳۲]. اولین بار Weissenberg [۳۳] مشاهده کرد، جریان برشی در سیال گرانزوکشسان منجر به ایجاد تنش‌های عمود می‌شود. اختلاف تنش عمود اول در واقع اختلاف بین P_{xx} و P_{yy} است (در یک سیال نیوتونی تحت برش، تنش‌های عمود همواره برابر هستند) [۳۴]. چون فشار در یک سیال گرانزوکشسان قابل اندازه‌گیری نیست، تعیین اختلاف بین تنش‌های عمود حائز اهمیت است. نسبت N_1 به دو برابر مقدار تنش برشی، τ ($N_1/2\tau$)، به عنوان معیاری از کشسانی سیال معرفی شده و برش بازیافتنی نامیده می‌شود [۳۲]. اثر افزایش مقدار نانوخاک‌های رس پراکنده شده روی کشسانی مذاب نانوکامپوزیت‌های ساخته شده از EVA دارای ۲۸ درصد وینیل استات، در شکل ۶ نشان داده شده



شکل ۵-وابستگی گرانزوی برشی به سرعت برش برای EVA28 خالص و نانوکامپوزیت‌های آن در دمای ۱۳۰°C [۱].

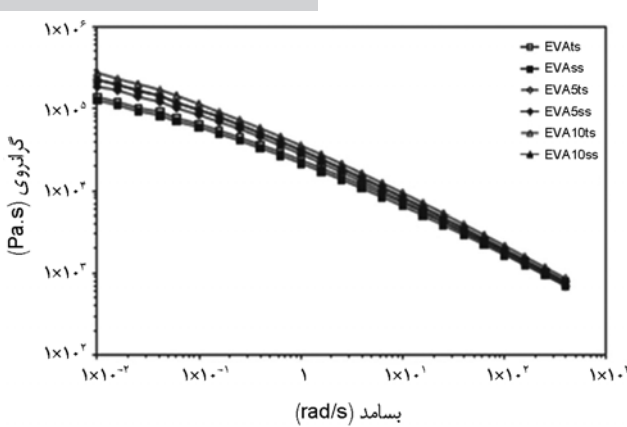
برش کم، برهمنش قوی بین لایه‌های نانوخاک رس و زنجیرهای پلیمری وجود دارد. همچنین با افزایش نانوخاک رس، ناحیه نیوتونی مربوط به این نانوکامپوزیت‌ها کوتاه شده و نسبت به EVA خالص، در سرعت برش کمتری رفتار رقیق‌شوندگی برشی بروز می‌دهند [۱]. نانوکامپوزیت‌های بر پایه EVA ۴۰ درصد وینیل استات حاوی کلویزیت 30B (EVA40/Cloisite 30B) نیز دارای رفتاری مشابه هستند [۱۹]. ظهور رفتار رقیق‌شوندگی برشی، به معنای وجود ساختار میان‌لایه‌ای شده یا ورقه‌ای شده در این نانوکامپوزیت‌هاست. افزایش سرعت رقیق‌شوندگی برشی با افزایش مقدار نانوخاک رس، نشان از افزایش رفتار شبه جامد در EVA40/Cloisite 30B دارد. در نانوکامپوزیت‌های نانوکامپوزیت‌ها دارای ۷/۵ و ۱۰ درصد نانوخاک رس، اثری از ناحیه نیوتونی دیده نمی‌شود که ممکن است ناشی از وجود ساختار سه‌بعدی در سرعت برش مورد آزمایش باشد. چنین رفتاری با مدل Carreau [۳۱] می‌تواند به طور کمی تحلیل شود:

$$\eta = \frac{\eta_0 - \eta_\infty}{[1 + (\gamma t_1)^2]^{(1-n)/2}} + \eta_\infty \quad (2)$$

جدول ۱- گرانزوی برشی در سرعت برش صفر، زمان آسایش و توان قانونی توانی نانوکامپوزیت‌های EVA40/Cloisite 30B [۱۹]

مقدار نانوخاک رس (%wt)	گرانزوی برشی در سرعت برش صفر (Pa.s)	توان قانونی توانی (s)	زمان آسایش (s)
۰	۵۵,۷۶۰	۰/۶۲	۲۵/۴
۲/۵	۱۷۸,۲۲۰	۰/۴۹	۵۳/۲
۵	۴۰۲,۰۷۰	۰/۳۴	۶۸/۲
۷/۵	۱,۴۲۱,۸۰۰	۰/۲۵	۱۶۶/۰
۱۰	۴,۶۴۳,۹۰۰	۰/۲۲	۴۳۰/۴

دیگر نتایج

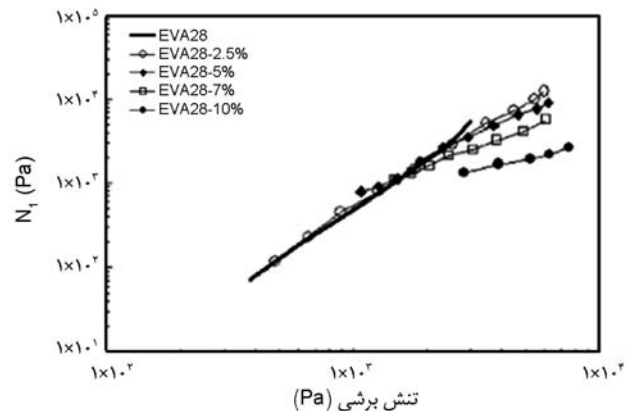


شکل ۷- نمودار گرانروی برشی بر حسب جریان برای نانوکامپوزیت‌های EVA14/Cloisite 15A فراورش شده در اکسترودر تک‌پیچی (ss) یا اکسترودر دوپیچی (ts) [۲].

کلویزیت 15A که در اکسترودر دوپیچی مداخل ناهمسوگرد (ts) فراورش شده‌اند، از گرانروی دینامیکی بیشتر و رفتار غیرنیوتونی بیشتری نسبت به همان نانوکامپوزیت که در اکسترودر تک‌پیچی (ss) فراورش شده است، برخوردارند (شکل ۷). گرانروی نیوتونی این نمونه‌ها با استفاده از معادله Ferry [۳۶] محاسبه شده است:

$$\frac{1}{\eta} = \frac{1}{\eta_0} + b\tau \quad (3)$$

در معادله (۳)، b ضریبی ثابت است. نتایج این محاسبات در جدول ۲ آمده است. در شکل ۷ دیده می‌شود، با افرودن نانو خاک رس، گرانروی برشی در سرعت برش صفر افزایش یافته است که ناشی از کاهش جریان پذیری مذاب در اثر وجود نانوذرات خاک رس میان‌لایه‌ای شده است. افزون بر آن، مقدار گرانروی برشی



شکل ۶- اختلاف تنش عمود اول بر حسب تنش برشی برای EVA28 خالص و نانوکامپوزیت‌های آن در دمای ۱۳۰ °C [۱].

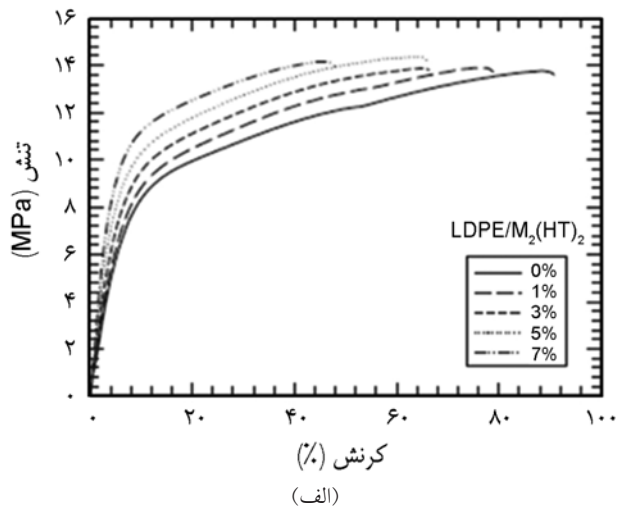
است. مشاهده می‌شود، افرودن نانو خاک رس موجب کاهش η در تنش‌های برشی زیاد می‌شود [۱]. این در حالی است که Krishnamoorti و همکاران [۳۵] گزارش داده‌اند، برای نانوکامپوزیت‌های لایه‌ای شده برپایه کوپلیمر پلی استیرن-۱،۴-پلی ایزوپرپن، N_1 مستقل از درصد سیلیکات است. اختلاف بین سامانه‌های میان‌لایه‌ای شده و ورقه‌ای شده به قابلیت لایه‌های سیلیکاتی در جهت‌گیری به سمت میدان برشی نسبت داده شده است. کاهش در مقدار کشسانی مشاهده شده در نانوکامپوزیت‌های ورقه‌ای شده برپایه EVA دارای ۲۸ درصد وینیل استات ممکن است نشان دهنده این باشد که هنوز برهمکنش‌های بین لایه‌های سیلیکاتی و زنجیرهای پلیمری قوی است و در نتیجه تحرک زنجیرهای پلیمری با وجود نانو خاک رس کاهش می‌باید [۱].

طبق یافته‌های La Mantia [۲] و همکاران [۲۲]، نانوکامپوزیت‌های تهیه شده از EVA دارای ۱۴ درصد وینیل استات و نانو خاک رس

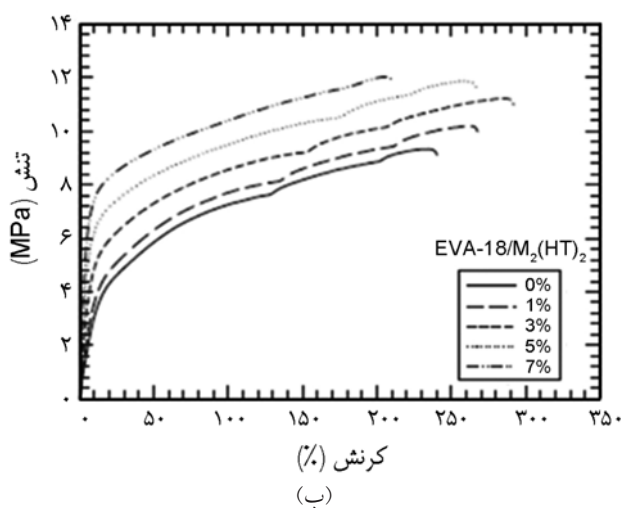
جدول ۲- گرانروی نیوتونی، توان قانونی و فاصله درون‌لایه‌ای نانوکامپوزیت‌های 15A [۲] EVA14/Cloisite 15A

فاصله درون‌لایه‌ای (nm)	توان قانونی	گرانروی نیوتونی (Pa.s)	نمونه
۳/۱۵	-	-	کلویزیت 15A
-	-	۱/۸×۱۰ ^۵	EVA ts
۴/۱۳	-۰/۰۴۹	۳/۰×۱۰ ^۵	EVA5ts
۴/۲۶	-۰/۰۵۸	۳/۳×۱۰ ^۵	EVA10ts
-	-	۱/۶×۱۰ ^۵	EVA ss
۴/۰۶	-۰/۰۴۲	۲/۸×۱۰ ^۵	EVA5ss
۴/۱۲	-۰/۰۵۴	۳/۱×۱۰ ^۵	EVA10ss

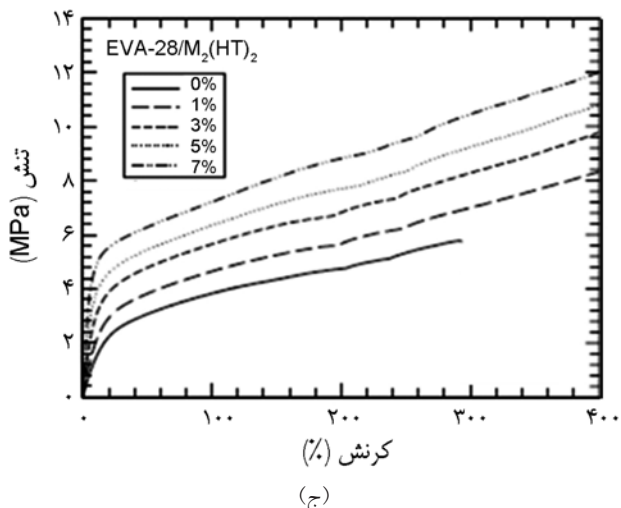
(ب) جهت‌گیری صفحات نانوخاک رس در راستای تنش. با فرض برهم‌کنش خوب بین پرکننده و پلیمر، خواص کشسانی



(الف)



(ب)



(ج)

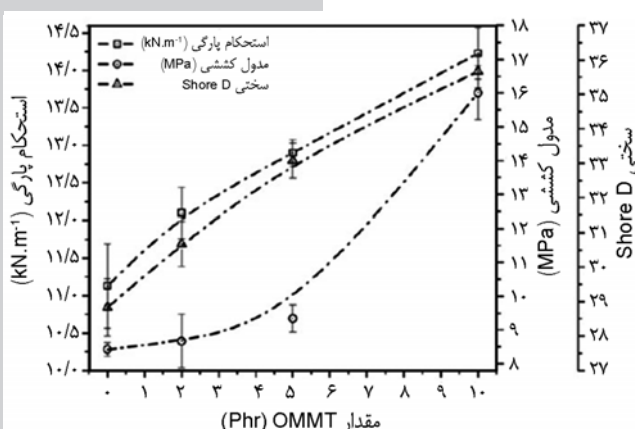
شکل ۸- نمودارهای تنش-کرنش برای نانوکامپوزیت‌های EVA درصدهای مختلف وینیل استات: (الف)، (ب) [۱۸] و (ج) [۲۸].

در سرعت برش صفر برای نمونه‌هایی که در اکسترودر دوپیچی فراورش شده‌اند، بیشتر است که می‌تواند به بیشتر بودن فاصله درون‌لایه‌ای نانوخاک رس در این نمونه‌ها نسبت به نمونه‌های فراورش شده در اکسترودر تک‌پیچی نسبت داده شود. فواصل درون‌لایه‌ای همه نمونه‌ها اندازه‌گیری شده و در جدول ۲ آورده شده است. مشاهده می‌شود، با افزودن نانوخاک رس و فراورش نمونه‌ها در اکسترودر دوپیچی، فاصله درون‌لایه‌ای نمونه‌ها افزایش یافته است. فاصله درون‌لایه‌ای، حاصل از تنش برشی مذاب است و به زنجیرهای پلیمر امکان جای‌گیری در فواصل بین لایه‌های سیلیکاتی را می‌دهد. بنابراین، گرانزوی مذاب، نوع دستگاه آمیزه‌سازی و نیروی چسبندگی بین پلیمر و نانوذرات خاک رس از موارد کلیدی برای سازوکار میان‌لایه‌ای شدن و نیز ورقه‌ای شدن هستند. چون نیروی چسبندگی بین پلیمر و نانوذرات خاک رس برای همه نمونه‌ها یکسان است، بنابراین تنش برشی مسئول ایجاد فاصله درون‌لایه‌ای بزرگتر در نمونه‌های فراورش شده با اکسترودر دوپیچی است [۲].

خواص مکانیکی

محاسبه مدول یانگ با اندازه‌گیری شیب ابتدایی نمودار تنش-کرنش، در ناحیه‌ای که رابطه میان تنش و کرنش خطی است، انجام می‌گیرد. واضح است که صرف‌نظر از اندازه ذرات، در سامانه‌ای که در آن ذرات به خوبی پراکنده شده باشند، تحرک زنجیرهای کاوش می‌یابد. در حالتی که این زنجیرهای پلیمر تحت تنش قرار گیرند، از خود مقاومت نشان داده و درنتیجه مدول افزایش می‌یابد [۱۸]. شکل ۸ نمودارهای تنش-کرنش را برای نانوکامپوزیت‌های ساخته شده از یک نانوخاک رس اصلاح شده با M₂(HT)₂ و ماتریس EVA با مقادیر مختلفی از وینیل استات و نانوخاک رس را نشان می‌دهد. این نمودارها قادر نهانه تسلیم برای پلیمرخالص و نانوکامپوزیت‌ها بوده و همان طور که انتظار می‌رود، با افزایش درصد نانوخاک رس، تنش در کرنش یکسان افزایش می‌یابد. با افزایش درصد وینیل استات در پلیمر، از مقدار تبلور کاسته شده و این امر خود سبب کاهش مدول و افزایش ازدیاد طول تا پارگی می‌شود [۶].

مدول کششی نانوکامپوزیت‌های EVA/Clay با درصدهای مختلفی از وینیل استات و نانوخاک رس بررسی شده است [۱۸، ۲۷، ۳۷]. در یک سامانه میان‌لایه‌ای شده، وجود پرکننده‌ای با نسبت ابعادی زیاد مانند نانوخاک رس در حالتی که با زنجیرهای پلیمری برهم‌کنش داشته باشد، دو اثر بر جای می‌گذارد: (الف) حذف قابلیت پلیمر برای نوآرایی و



شکل ۹- خواص مکانیکی نانوکامپوزیت‌های EVA28/Clay [۲۷].

ورقهای شده در جذب مقادیر بیشتری از انرژی تحت تنش نسبت داده شده است [۱۸].

طبق گزارش Pistor و همکاران [۲۷]، افزودن نانوذرات خاک رس تا ۱۰ phr موجب افزایش ۵۴ درصد استحکام پارگی، ۸۸ درصد مدول کششی و ۲۲ درصد سختی Shore D، در مقایسه با EVA خالص (با ۲۸ درصد وینیل استات) می‌شود (شکل ۹). این موضوع به برهم‌کنش قوی موجود بین لایه‌های سیلیکاتی و زنجیرهای پلیمری نسبت داده شده است.

در جدول ۳ خواص کششی EVA خالص وهمچنین نانوکامپوزیت‌های مختلف تهیه شده از آن درج شده است. مقایسه خواص ماتریس EVA خالص با نانوکامپوزیت‌های حاوی خاک رس (Somasif ME100 و Nanofil 757) اصلاح نشده (کلویزیت Na، 20A، 25A، 30B، Nanofil 15 و Somasif MAE) نشان می‌دهد، تغییری در مدول یانگ رخ نداده و تنش و کرنش

کامپوزیت‌ها مانند مدول، تحت تأثیر هر دو عامل افزایش می‌یابد، ولی استحکام متاثر از فعل و انفعال این دو اثر است. افزون بر این، با افزایش درصد نانوخاک رس، نوآرایی‌های پلیمری کمتری رخ می‌دهد و در پاسخ به تنفس اعمالی، ممانعت فضایی بیشتری برای صورت‌بندی‌های پلیمری به وجود می‌آید. در نتیجه، بسته به برهم‌کنش بین پرکننده و پلیمر، مدول و استحکام هر دو تحت تأثیر قرار گرفته و با افزایش مقدار نانوخاک رس، مدول کشسانی کامپوزیت افزایش می‌یابد. دلیل این مسئله آن است که افزودن ذراتی با مدول بیشتر از ماتریس به کامپوزیت، همیشه مقاومت اولیه را در برابر تنش اعمالی افزایش می‌دهد. در حالی که با افزایش مقدار وینیل استات به دلیل کاهش تبلور از مقدار مدول کامپوزیت‌ها کاسته می‌شود. با مراجعه به داده‌های مربوط به استحکام کششی نانوکامپوزیت‌های EVA/Clay با درصدهای مختلف از وینیل استات دریافت می‌شود، افزودن کلویزیت ۳۰B به EVA ۹ درصد وینیل استات، موجب کاهش ۵۰ درصدی استحکام آن می‌شود. این کاهش استحکام، ممکن است به دلیل عدم تشکیل ساختار شبکه‌ای انعطاف‌پذیر از نانوذرات خاک رس و سفتی ناشی از پراکنش خوش‌هایی از تاکتویدها با جهت‌گیری اتفاقی در ماتریس باشد. EVA دارای ۱۸ و ۲۸ درصد وینیل استات نیز دارای همین رفتار هستند. ولی، در باره EVA دارای ۱۸ درصد وینیل استات، مشاهده می‌شود، با افزودن ۵ درصد وزنی کلویزیت ۳۰B، استحکام کششی در مقایسه با EVA قادر نانو خاک رس افزایش می‌یابد. این امر به وجود ساختار شبکه‌ای انعطاف‌پذیر از نانوذرات خاک رس و قابلیت این نانوکامپوزیت میان‌لایه‌ای یا

جدول ۳- خواص کششی EVA و نانوکامپوزیت‌های حاوی ۳٪ وزنی نانوذرات خاک رس [۳۷].

نوع پرکننده	تنش در نقطه شکست (MPa)	کرنش در نقطه شکست (%)	مدول یانگ (MPa)
-	۲۸/۴±۰/۷	۱۴۰۶±۲۸	۱۲/۲±۱/۲
کلویزیت Na	۲۵/۹±۱/۰	۱۴۰۳±۲۷	۱۳/۵±۰/۴
کلویزیت 20A	۲۵/۸±۱/۳	۱۲۳۱±۴۶	۲۴/۹±۰/۹
کلویزیت 25A	۲۶/۲±۱/۲	۱۲۵۹±۲۵	۲۲/۰±۱/۰
کلویزیت 30B	۳۰/۷±۰/۹	۱۲۶۶±۲۴	۲۲/۰±۱/۱
Nanofil 757	۲۷/۶±۰/۴	۱۳۵۸±۱۸	۱۱/۶±۰/۸
Nanofil 15	۲۶/۷±۰/۴	۱۲۹۱±۴۵	۲۴/۰±۰/۵
Somasif ME100	۲۴/۵±۰/۷	۱۳۱۲±۳۶	۱۲/۴±۰/۳
Somasif MAE	۲۵/۱±۲/۲	۱۲۷۰±۵۱	۲۱/۱±۲/۶

خطی مطالعه شد. شکل ۱۰ نشان می‌دهد، مدول کشسانی میکروکامپوزیت تهیه شده از EVA با ۱۹ درصد وینیل استات و ۱۰ درصد نانوخاک رس فلورکتوریت که با آمینودو دکانوئیک اسید تبادل کاتیونی انجام داده است (EVA-ME100/ADA)، کمی بیش از پلیمر خالص است. ولی، نانوکامپوزیت ورقه‌ای شده EVA با همان درصد وینیل استات و نانوخاک رس فلورکتوریت که با EVA-ME100/ (EVA)، افزایش قابل ملاحظه‌ای در مقدار مدول کشسانی نشان می‌دهد که ناشی از پراکنش فاز غیرآلی است. بیشترین اختلاف در مقدار مدول کشسانی بین میکروکامپوزیت و نانوکامپوزیت یاد شده، در بیش از دمای انتقال شیشه‌ای (T_g) کopolymer EVA (۲۸ °C) مشاهده می‌شود. در واقع در جایی این مسئله دیده می‌شود که لایه‌های سیلیکاتی ورقه‌ای شده از تحرک بیشتر زنجیره‌های پلیمری به دلیل افزایش دما جلوگیری می‌کنند. نتایج مشابهی نیز برای مدول EVA اختلاف به دست آمده است. می‌توان مشاهده کرد، کopolymer خالص دارای رفتاری شبه مایع است. درحالی که نانوکامپوزیت‌های آن رفتار شبه جامد از خود نشان می‌دهند [۱]. طبق یافته‌های Galgali و همکاران [۳۸]، چنین رفتار شبه‌جامدی ناشی از برهم‌کنش قوی بین لایه‌های نانوخاک رس ورقه‌ای شده با زنجیره‌های پلیمری است.

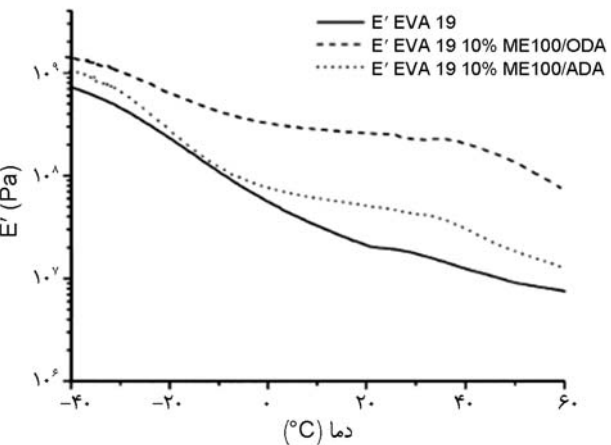
شکل ۱۱-الف و ب تغییرات مدول ذخیره و اختلاف نانوکامپوزیت‌های EVA40/Cloisite 30B را با بسامد نشان می‌دهد. دیده می‌شود، مدول ذخیره و اختلاف با افزایش بسامد، افزایش می‌یابند. موادی که همانند جامدات رفتار می‌کنند، دارای مدول ذخیره بیشتر و موادی که رفتار شبه‌مایع دارند، دارای مدول اختلاف بیشتری هستند (شکل ۱۱-ج). با افزایش مقدار نانوخاک رس، نانوکامپوزیت‌ها رفتاری شبه‌جامد بروز می‌دهند. افزون بر این، نقطه تلاقی مدول ذخیره و اختلاف به سمت بسامدهای کمتر انتقال پیدا می‌کند. ولی برای نانوکامپوزیت‌های دارای بیش از ۵ درصد وزنی نانوخاک رس، این نقطه تلاقی دیده نمی‌شود. به عبارت دیگر، مدول ذخیره که نشانگر مقدار کشسانی ماده است، با افزایش مقدار نانوخاک رس به مقدار قابل ملاحظه‌ای بیشتر می‌شود [۱۹].

بازدارندگی شعله

از موارد مصرف کopolymer EVA ساخت کابل‌های مخابراتی است. ویژگی مهمی که استفاده از این کopolymer را در این کاربرد مناسب می‌کند، بازدارندگی شعله خوب بدون اثر گذاشتن روی خواص مکانیکی این ماده است [۲۰]. ثابت شده است، پراکنش نانوخاک‌های

شکست کاهش یافته است. درحالی که برای نانوکامپوزیت‌هایی که میانلایه‌ای یا ورقه‌ای شده‌اند، مقدار مدول یانگ به طور چشم‌گیری افزایش می‌یابد. گزارش شده است، مدول یانگ نانوکامپوزیت‌های حاوی نانوخاک رس اصلاح شده (کلویزیت 20A و 15 Nanofil) تا دو برابر مدول EVA پر نشده، افزایش پیدا می‌کند. نانوکامپوزیت‌هایی که مقدار ورقه‌ای شدن کمتری دارند، افزایش کمتری در مقدار مدول یانگ را تجربه می‌کنند. در همه موارد، در خواص شکست تغییر چشم‌گیری مشاهده نمی‌شود که می‌تواند بیانگر مشابهت سازوکار شکست و عدم رخدادن تغییر فاحشی در آن باشد. کاهش اندک دیده شده در مقایسه با EVA فاقد پرکننده نیز می‌تواند به افزایش مدول و شکننده‌تر شدن نانوکامپوزیت‌ها نسبت داده شود. بیشترین مدول یانگ برای نانوکامپوزیت‌های حاوی نانوذرات خاک رس اصلاح شده (کلویزیت 20A، کلویزیت 30B و کلویزیت 25A) به دست آمده است که بیانگر زیاد بودن مقدار میانلایه‌ای شدن و ورقه‌ای شدن در نانوکامپوزیت‌هایی تهیه شده از این نانوذرات است. همچنین مشاهده می‌شود، نانوکامپوزیت تهیه شده از کلویزیت 30B از مقدار تنش شکست زیادی برخوردار است. این مسئله به برهم‌کنش خوب بین گروه هیدروکسیل کاتیون‌های آمونیوم اصلاح کننده نانوخاک رس و گروه وینیل استات موجود در EVA نسبت داده شده است. گزارش شده که کلویزیت 30B نیز از بهترین پراکنش در میان سایر نانوذرات خاک رس درون ماتریس EVA برخوردار است [۳۷].

خواص کشسانی نانوکامپوزیت‌های EVA/Clay Riva توسط و همکاران [۲۰]، با استفاده از یک رئومتر صفحات موازی در دمای ۱۲۰ °C، بسامد Hz ۱ و مقدار کرنش ۰/۰۵٪ در ناحیه گرانزوکشسان

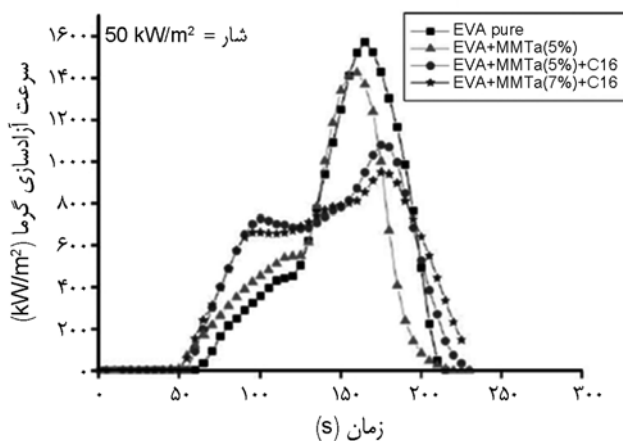


شکل ۱۰- منحنی‌های مدول ذخیره بر حسب دما برای میکروکامپوزیت EVA-ME100/ADA، نانوکامپوزیت ورقه‌ای شده EVA-ME100/ODA و EVA19 خالص [۲۰].

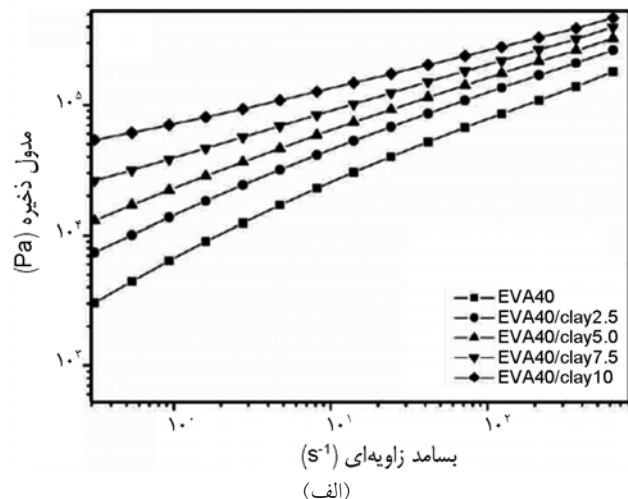
که برای بررسی خواص اشتعالپذیری نانوکامپوزیت‌های پلیمری استفاده می‌شود، گرماسنجی مخروطی است و ویژگی استفاده شده برای ارزیابی بازدارندگی شعله با این فن، سرعت آزاد شدن گرمای (HRR) است [۳۰، ۳۹].

طبق یافته‌های Tang و همکاران [۴۰]، سرعت آزاد شدن گرمای نانوکامپوزیت‌های تهیه شده از EVA و نانوخاک رس مونت موریلوئیت همراه با سازگارکننده هگزادسیل تری متیل آمونیوم (EVA+MMTa+C16)، به مقدار ۴۰ درصد از پلیمرخالص و ۳۴ درصد از میکروکامپوزیت تهیه شده از EVA و نانوخاک رس مونت موریلوئیت طبیعی بدون سازگارکننده (EVA+MMTa) بسیار شبه به پلیمرخالص عمل می‌کند. علت آن را می‌توان به عدم وجود برهم‌کنش کافی بین مونت‌موریلوئیت طبیعی و EVA مرتبط دانست.

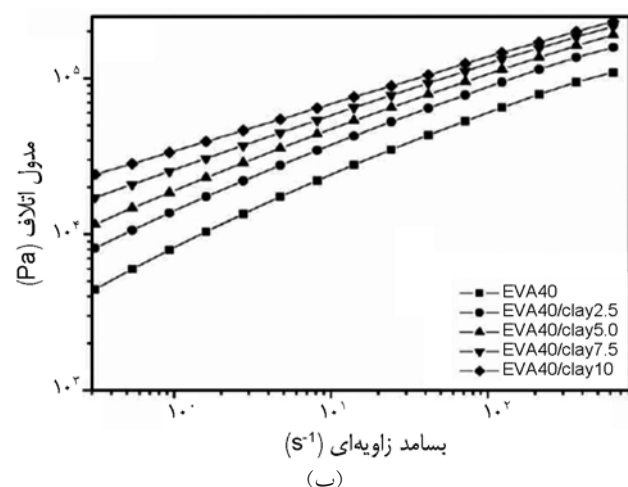
پیک HRR مربوط به نانوکامپوزیت‌های EVA+MMTa+C16 بسیار کوتاه‌تر از پلیمرخالص است. طبق یافته‌های Costache و همکاران [۳۹]، این کاهش سرعت آزاد شدن گرمای در نانوکامپوزیت‌های دارای نانوخاک رس مونت موریلوئیت، به دلیل تشکیل سدی است که موجب جلوگیری از انتقال جرم می‌شود. این سد، با ایجاد عایق گرمایی سبب می‌شود تا پلیمر از منبع شعله در امان بماند و از سوختن آن جلوگیری شود. این موضوع با یافته‌های Gilman و همکاران [۴۱] مطابقت دارد. همچنین مشاهده می‌شود، با افزایش مقدار نانوخاک رس از ۵ به ۷ درصد، شدت پیک HRR نانوکامپوزیت EVA+MMTa+C16 می‌باید. این مسئله را به افزایش مقدار زغال تشکیل شده با افزایش مقدار نانوذرات



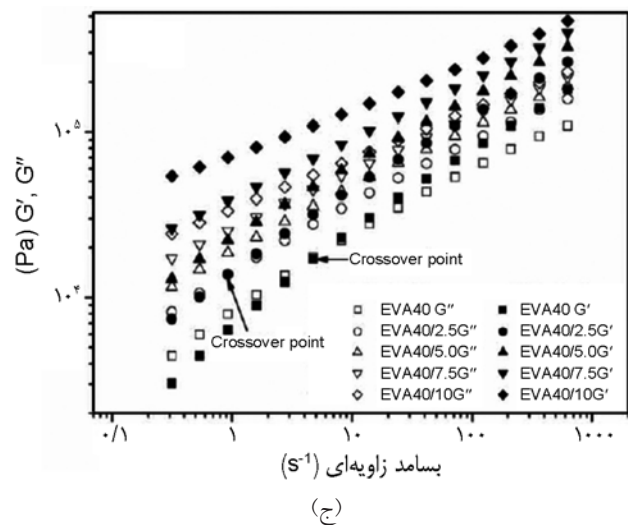
شکل ۱۲- منحنی سرعت آزاد شدن گرمای بر حسب زمان برای نانوکامپوزیت‌ها و میکروکامپوزیت EVA/MMT و EVA خالص [۴۰].



(الف)



(ب)



(ج)

شکل ۱۱- (الف) مدول ذخیره، (ب) مدول اتلاف، (ج) مدول ذخیره و اتلاف EVA40 و نانوکامپوزیت‌های EVA40/Cloisite بر حسب بسامد زاویه‌ای در دمای ۱۳۰°C [۱۹].

رس اصلاح شده، حتی در درصدهای کم، اشتعالپذیری نانوکامپوزیت‌های تهیه شده از EVA را کاهش می‌دهد. تنها فنی

خاک رس نسبت داده‌اند که از سرعت آزاد شدن بیشتر گرما می‌کاهد.

نتیجه‌گیری

در این مقاله، انواع نانوکامپوزیت‌های نانوخاک رس بر پایه کوپلیمر اتیلن وینیل استات، نوع نانوخاک رس استفاده شده و مقدار آن روی شکل‌شناسی و خواص نانوکامپوزیت‌های حاصل بررسی شد. همچنین، در باره اثر نحوه فراورش و نوع اصلاح کننده نانوخاک رس نیز مطالبی ارائه شد. با مرور پژوهش‌های انجام شده در این زمینه می‌توان دریافت، با

مراجع

- Gupta R.K., Pasanovic-Zujo V., and Bhattacharya S.N., Shear and Extensional Rheology of EVA/Layered Silicate-Nano-composites, *J. Non-Newtonian Fluid Mech.*, **128**, 116-125, 2005.
- La Mantia F.P. and Dintcheva N.T., EVA Copolymer-Based Nanocomposites: Rheological Behavior under Shear and Iso-thermal and Non-isothermal Elongational Flow, *Polym. Test.*, **25**, 701-708, 2006.
- Pavlidou S. and Papaspyrides C.D., A Review on Polymer-Layered Silicate Nanocomposites, *Prog. Polym. Sci.*, **33**, 1119-1198, 2008.
- Bhattacharya S.N., Gupta R.K., and Kamal M.R., *Polymeric Nanocomposites: Theory and Practice*, Hanser, Munich, 6-12, 354-355, 2008.
- Zanetti M., Camino G., Thomann R., and Mulhaupt R., Synthesis and Thermal Behavior of Layered Silicate-EVA Nano-composites, *Polymer*, **42**, 4501-4507, 2001.
- Cui L., Xiaoyan M., and Paul D.R., Morphology and Properties of Nanocomposites Formed from Ethylene-Vinyl Acetate Copolymers and Organoclays, *Polymer*, **48**, 6325-6339, 2007.
- De Paiva L.B., Morales A.R., Francisco R., and Diaz V., Organoclays: Properties, Preparation and Applications, *Appl. Clay Sci.*, **42**, 8-24, 2008.
- Buchmeiser M.R. and Baughman T.W., *Metathesis Polymerization*, Springer, New York, 10, 2005.
- Brydson J.A., *Plastics Materials*, Butterworth-Heinemann, UK, 275-279, 1999.
- Chaudhary D.S., Prasad R., Gupta R.K., and Bhattacharya S.N., Clay Intercalation and Influence on Crystallinity of EVA-Based Clay Nanocomposites, *Thermochim. Acta*, **433**, 187-195, 2005.
- Bragg W.L., The Diffraction of Short Electromagnetic Waves by a Crystal, *Proc. Cambridge Philos. Soc.*, **17**, 43-57, 1913.
- Paul D.R. and Robeson L.M., Polymer Nanotechnology: Nanocomposites, *Polymer*, **49**, 3187-3204, 2008.
- Muralidharan M.N., Kumar S.A., and Thomas S., Morphology and Transport Characteristics of Poly(Ethylene-co-Vinyl Acetate)/Clay Nanocomposites, *J. Membrane Sci.*, **315**, 147-154, 2008.
- Marini J., Branciforti M.C., and Lotti C., Effect of Matrix Viscosity on the Extent of Exfoliation in EVA/Organoclay Nano-composites, *Polym. Adv. Technol.*, **21**, 408-417, 2010.
- Prasad R., Gupta R.K., Cser F., and Bhattacharya S.N., Extensibility of EVA Based Nanocomposites, *J. Polym. Eng.*, **25**, 305-330, 2005.
- Pasanovic-Zujo V., Gupta R.K., and Bhattacharya S.N., Effect of Vinyl Acetate Content and Silicate Loading on EVA Nano-composites under Shear and Extensional Flow, *Rheol. Acta*,

43, 99-108, 2004.

17. Zhang W., Chen D., Zhao Q., and Fang Y., Effects of Different Kinds of Clay and Different Vinyl Acetate Content on the Morphology and Properties of EVA/Clay Nanocomposites, *Polymer*, **44**, 7953-7961, 2003.
18. Chaudhary D.S., Prasad R., Gupta R.K., and Bhattacharya S.N., Morphological Influence on Mechanical Characterization of Ethylene-Vinyl Acetate Copolymer–Clay Nanocomposites, *Polym. Eng. Sci.*, **45**, 889-897, 2005.
19. Lee H.M., Park B.J., Choi H.J., Gupta R.K., and Bhattacharya S.N., Preparation and Rheological Characteristics of Ethylene-Vinyl Acetate Copolymer/Organoclay Nanocomposites, *Macromol. Sci. Part B: Phys.*, **46**, 261-273, 2007.
20. Riva A., Zanetti M., Braglia M., Camino G., and Falqui L., Thermal Degradation and Rheological Behaviour of EVA/Montmorillonite Nanocomposites, *Polym. Degrad. Stabil.*, **77**, 299-304, 2002.
21. Zhang Q., Ma X., Wang Y., and Kou K., Morphology and Interfacial Action of Nanocomposites Formed from Ethylene-Vinyl Acetate Copolymers and Organoclays, *J. Phys. Chem. B*, **113**, 11898-11905, 2009.
22. Mittal V., *Advances in Polyolefin Nanocomposites*, Taylor and Francis, USA, 68-69, 2011.
23. Fornes T.D., Yoon P.J., Hunter D.L., Keskkula H., and Paul D.R., Effect of Organoclay Structure on Nylon 6 Nanocomposite Morphology and Properties, *Polymer*, **43**, 5915-5933, 2002.
24. Hotta S. and Paul D.R., Nanocomposites Formed from Linear Low Density Polyethylene and Organoclays, *Polymer*, **45**, 7639-7654, 2004.
25. Li X. and Ha C.S., Nanostructure of EVA/Organoclay Nanocomposites: Effects of Kinds of Organoclays and Grafting of Maleic Anhydride onto EVA, *J. Appl. Polym. Sci.*, **87**, 1901-1909, 2003.
26. Filippi S., Paci M., Baldanzi F., Rossi D., and Polacco G., XRD Study of Intercalation in Statically Annealed Composites of Ethylene Copolymers and Organically Modified Montmorillonites, 1. Two-Tailed Organoclays, *J. Taiwan Inst. Chem. Eng.*, **44**, 123-130, 2013.
27. Pistor V., Lizot A., Fiorio R., and Zattera A.J., Influence of Physical Interaction between Organoclay and Poly(Ethylene-co-Vinyl Acetate) Matrix and Effect of Clay Content on Rheological Melt State, *Polymer*, **51**, 5165-5171, 2010.
28. Costache M.C., Jiang D.D., and Wilkie C.A., Thermal Degradation of Ethylene-Vinyl Acetate Copolymer Nanocomposites, *Polymer*, **46**, 6947-6958, 2005.
29. Lim S.T., Hyun Y.H., and Choi H.J., Synthetic Biodegradable Aliphatic Polyester/Montmorillonite Nanocomposites, *Chem. Mater.*, **14**, 1839-1844, 2002.
30. Duquesne S., Jama C., Le Bras M., Delobel R., Recourt P., and Gloaguen J.M., Elaboration of EVA–Nanoclay Systems–Characterization, Thermal Behaviour and Fire Performance, *Compos. Sci. Technol.*, **63**, 1141-1148, 2003.
31. Carreau P.J., Rheological Equations from Molecular Network Theories, *Trans. Soc. Rheol.*, **16**, 99-127, 1972.
32. Chhabra R.P. and Richardson J.F., *Non-Newtonian Flow and Applied Rheology: Engineering Applications*, Butterworth-Heinemann, Oxford, 27-28, 2008.
33. Weissenberg K., A Continuum Theory of Rheological Phenomena, *Nature*, **159**, 310-311, 1947.
34. Phan-Thien N., *Understanding Viscoelasticity: An Introduction to Rheology*, Springer, Berlin, 31, 2013.
35. Krishnamoorti R., Ren J., and Silva A.S., Shear Response of Layered Silicate Nanocomposites, *J. Chem. Phys.*, **114**, 49-68, 2001.
36. Ferry J.D., Mechanical Properties of Substances of High Molecular Weight III. Viscosities of the System Polystyrene-Xylene, *J. Am. Chem. Soc.*, **6**, 1330-1336, 1942.
37. Peeterbroeck S., Alexandre M., Jerome R., and Dubois Ph., Poly(Ethylene-co-Vinyl Acetate)/Clay Nanocomposites: Effect of Clay Nature and Organic Modifiers on Morphology, Mechanical and Thermal Properties, *Polym. Degrad. Stabil.*, **90**, 288-294, 2005.
38. Galgali G., Ramesh C., and Lele A., A Rheological Study on the Kinetics of Hybrid Formation in Polypropylene Nanocomposites, *Macromolecules*, **34**, 852-858, 2001.
39. Costache M.C., Heidecker M.J., Manias E., Camino G., Frache A., Beyer G., Gupta R.K., and Wilkie C.A., The Influence of Carbon Nanotubes, Organically Modified Montmorillonites and Layered Double Hydroxides on the Thermal Degradation and Fire Retardancy of Polyethylene, Ethylene-Vinyl Acetate Copolymer and Polystyrene, *Polymer*, **48**, 6532-6545, 2007.
40. Tang Y., Hu Y., Wang S., Gui Z., Chen Z., and Fan W., Preparation and Flammability of Ethylene-Vinyl Acetate Copolymer/Montmorillonite Nanocomposites, *Polym. Degrad. Stabil.*, **78**, 555–559, 2002.

41. Gilman J.W., Harris R.H. (Jr.), Shields J.R., Kashiwagi T.,
and Morgan A.B., A Study of the Flammability Reduction
Mechanism of Polystyrene-Layered Silicate Nanocomposite:

Layered Silicate Reinforced Carbonaceous Char, *Polym. Adv. Technol.*, **17**, 263–271, 2006.